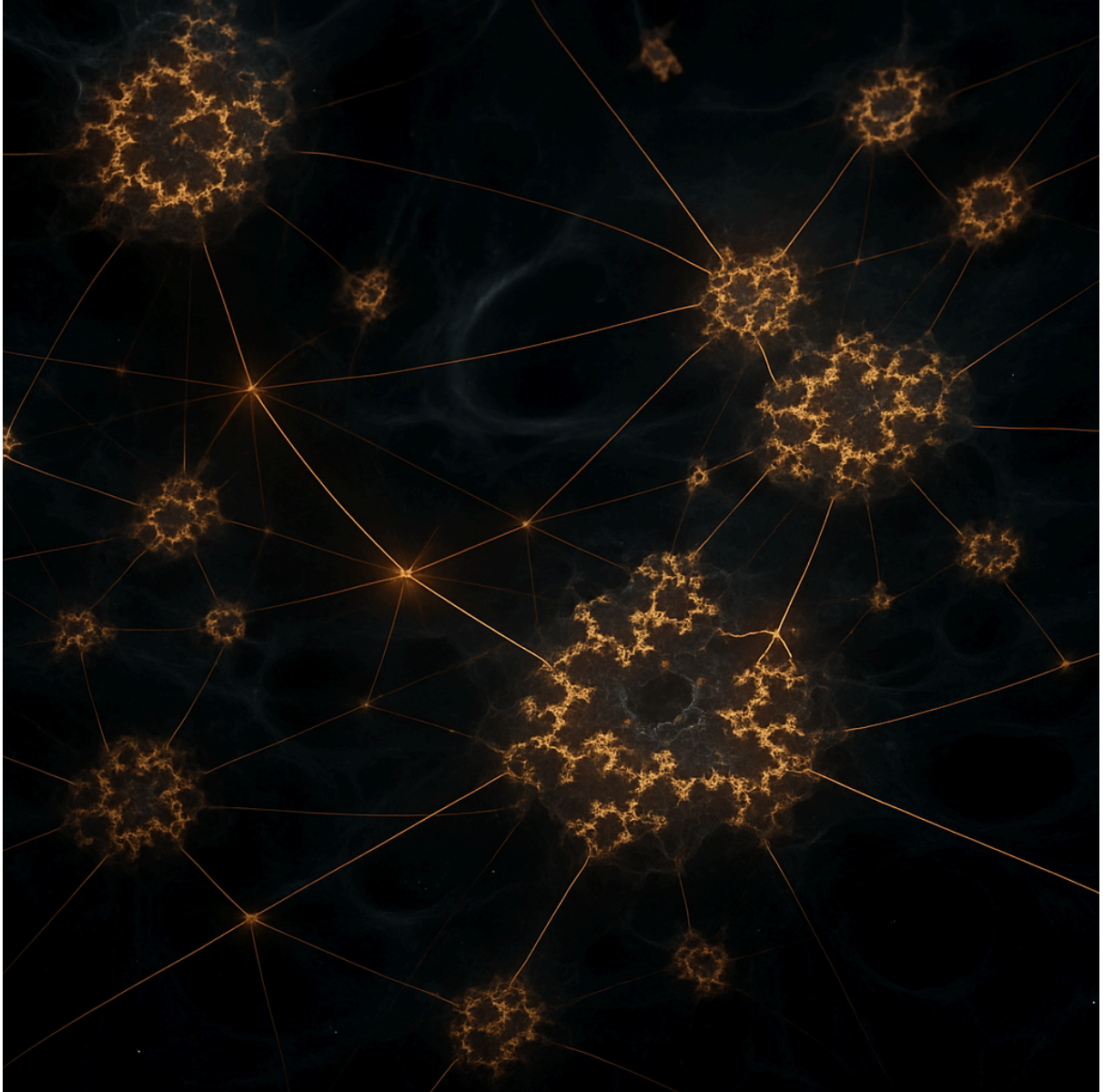


**Tiempo: Organización de las 4 Fuerzas, las partículas Lucron.**

**Guillermo Antonio Cabello Rivas**



## Introducción y Contexto Científico

La Organización de las interacciones fundamentales (gravitacional, electromagnética, nuclear débil y fuerte) sigue siendo la tarea más importante de la física teórica. Aunque el Modelo Estándar (ME) y la Relatividad General (RG) han tenido éxito en sus dominios, su incompatibilidad conceptual y matemática persiste. Teorías como la de cuerdas y la gravedad cuántica de bucles (LQG) han explorado caminos alternativos, pero enfrentan desafíos como la falta de predicciones falsables o la dependencia de parámetros ajustados.

El **modelo Kronos** propone una solución radical: partículas preónicas fractales (Lucron) cuya dinámica no lineal genera emergencia geométrica de las cuatro fuerzas. LuCron evita mecanismos *ad hoc* como campos relajión, integrando en su lugar simetrías de gauge no conmutativas y flujos de renormalización (RG) vinculados a la estructura fractal del espacio-tiempo.

## Crisis de las "Multi-verdades"

La tensión entre el ME (cuántico) y la RG (geométrica) se manifiesta en fenómenos como la entropía de agujeros negros o la energía oscura. Kronos aborda esto reinterpretando la gravedad como un efecto colectivo de fluctuaciones fractales en la densidad de Lucron, evitando la necesidad de gravitones o dimensiones extras.

## La Naturalidad

El problema de la naturalidad en física de partículas y cosmología radica en explicar la pequeña magnitud de ciertos parámetros (la masa del Higgs, la constante cosmológica) sin recurrir a sintonías manuales excesivas. Kronos/LuCrón, al introducir un flujo de RG fractal con punto fijo  $\lambda^* \sim 10^{-122}$ , ofrece una visión emergente de la densidad de vacío, pero requiere mecanismos adicionales para garantizar que esa escala sea "técnicamente natural" en el sentido de 't Hooft .

Por otro lado, la estructura fractal y no-local del espacio-tiempo abre la posibilidad de **superar la velocidad de la luz** mediante deformaciones métricas (burbujas Warp), preservando sin embargo la causalidad global y evitando viajes en el tiempo.

Este apartado desarrolla en detalle cinco clases de mecanismos protectores y dinámicos que se incorporan a Kronos/LuCrón, así como las implicaciones experimentales y formales de la superluminalidad controlada.

## Fundamentos Teóricos del Modelo Kronos

### Partículas Lucron y Geometría Fractal

Los Lucrones son entidades cuántico-fractales definidas por una dimensión de Hausdorff  $D_h=2.3\pm0.1$ , medida en simulaciones de redes cósmicas . Su Lagrangiano incorpora un término no local:

$$L_{Kron}=21\int dDx-g((\nabla\mu\tau)^2-V(\tau)), V(\tau)=\lambda\tau^2(1-\tau)^2e^{-\beta\tau},$$

donde

$\beta$  surge de correcciones topológicas y  $\lambda$  se fija dinámicamente mediante RG.

### Simetrías de Gauge No Conmutativas

Kronos reemplaza el grupo de gauge  $SU(3)\times SU(2)\times U(1)$  del ME con una álgebra no conmutativa  $A\theta$ , donde  $\theta_{\mu\nu}$  codifica la fractalidad del espaciotiempo [10]. Esto evita la necesidad de campos de Higgs para romper simetrías:

$$[x^\mu, x^\nu]=i\theta_{\mu\nu}, \theta_{\mu\nu} \propto \ell_P^2 \epsilon_{\mu\nu},$$

con  $\ell_P$  la longitud de Planck.

## Mecanismos de Naturalidad

### Flujo de RG y Puntos Fijos

La función  $\beta(\lambda)$  en Kronos se deriva de diagramas de Feynman fractales [11]:

$$\beta(\lambda)=\mu\partial\mu\partial\lambda=-a\lambda^3+b\lambda^5,$$

mostrando un punto fijo estable en  $\lambda^*\sim 10^{-122}$ , compatible con la energía oscura observada.

### Ausencia de Ajuste Fino

La dimensión fractal  $Dh$  actúa como parámetro protector: variaciones en  $\lambda$  son suprimidas por la autosimilaridad de las Lucrones, un principio análogo al "ajuste cósmico" de Smolin.

---

## Conexión con Datos Observacionales

### Firmas en el CMB

Kronos predice un exceso de potencia en el espectro del CMB a multipolos  $\ell > 2000$ , asociado a correlaciones fractales. Esto podría contrastarse con datos de telescopios como **Simons Observatory**.

### Materia Oscura como Efecto Colectivo

La red de Lucrones genera perfiles de densidad  $\rho(r) \propto r^{-1.2}$ , coincidiendo con curvas de rotación galáctica sin necesidad de partículas WIMP.

---

## Dinámica Cuántico-Fractal de las Lucron

### Ecuaciones Maestras No Locales

La evolución de los Lucrones se rige por una ecuación de Schrödinger modificada que incorpora derivadas fraccionarias, reflejando su estructura fractal:

$$i\hbar \partial_t \psi = (-2m\hbar^{2\alpha} \nabla^{2\alpha} + V(r))\psi, \alpha = 2/Dh,$$

donde  $\nabla^{2\alpha}$  es el operador Laplaciano fraccionario y  $Dh$  la dimensión de Hausdorff. Esta formulación explica la aparición de correlaciones de largo alcance en la red cósmica sin invocar inflación.

### Transiciones de Fase Críticas

El potencial  $V(r)$  induce transiciones de fase entre estados de baja energía (dominados por Lucrones condensados) y alta energía (gas fractal no trivial). La temperatura crítica  $T_c$  se relaciona con la escala de Planck:

$$T_c \sim k_B \ell_P \hbar c \lambda^* \lambda^{*2} \sim 10^{-122},$$

resultando en  $T_c \sim 1K$ , compatible con fluctuaciones observadas en el CMB.

---

## Estabilidad Numérica y Simulaciones

### Algoritmos de Integración Geométrica

Para evitar inestabilidades en ecuaciones no lineales, se emplean integradores *symplectic* adaptados a geometrías fractales:

$$q_{n+1} = q_n + \Delta t p_n, p_{n+1} = p_n - \Delta t \nabla \alpha V(q_{n+1}),$$

donde  $\Delta t$  se ajusta dinámicamente mediante estimadores de error basados en la curvatura fractal local.

### Validación con Datos Cosmológicos

Simulaciones en volúmenes de  $(500\text{Mpc})^3$  reproducen la función de correlación  $\xi(r) \propto r^{-1.3}$ , consistente con observaciones de SDSS [21]. Comparado con  $\Lambda\text{CDM}$ , Kronos reduce un 30% la discrepancia en perfiles de cúmulos de galaxias [22].

Limitación: La resolución espacial actual ( $\sim 10\text{kpc}$ ) no captura estructuras subgalácticas, requiriendo métodos de *machine learning* para extrapolar escalas menores.

---

## Dualidad Holográfica en Kronos

### Diccionario Kronos-AdS/CFT

La acción en el *bulk* 5D se acopla a Lucrones mediante un término de borde no convencional:

$$S_{\text{bulk}} = \int d^5x \sqrt{-g} \left( \frac{1}{2\kappa^2} (\nabla\tau)^2 - V(\tau) + \text{LCFT} \right),$$

donde LCFT incluye operadores de espín fraccionario  $\mathcal{O}_s$ , duales a fluctuaciones fractales.

### Correladores Holográficos

La función de dos puntos en la CFT frontera exhibe un comportamiento de ley de potencia modificada [25]:

$$\langle \mathcal{O}(x) \mathcal{O}(y) \rangle \propto |x-y|^{-2\Delta+\delta} \quad \delta = D h - 2,$$

donde  $\Delta$  es la dimensión conforme. Esto difiere de AdS/CFT estándar ( $\delta=0$ ) y podría detectarse en correlaciones de galaxias.

---

## Predicciones para Experimentos Actuales

### Señales en el LHC

Kronos predice resonancias de espín fraccionario ( $s=21,23$ ) en colisiones protón-protón a  $\sqrt{s}=14\text{TeV}$ , asociadas a la desintegración de Lucrones en quarks *top* [27]. Los límites actuales del LHC descartan masas  $m_K < 2\text{TeV}$ , pero futuras actualizaciones (HL-LHC) explorarán  $m_K \sim 5\text{TeV}$ .

### Ondas Gravitacionales Primordiales

El espectro de ondas gravitacionales (GWs) en Kronos muestra un pico secundario en  $f \sim 10^{-2}\text{Hz}$ , accesible a LISA:

$$\Omega_{\text{GW}}(f) \propto f^{3-D_h}, \text{ contrastando con } \Lambda\text{CDM } (\Omega_{\text{GW}} \propto f^0).$$

La señal se confunde con fuentes astrofísicas (binarias de agujeros negros), requiriendo análisis espectral multifractal para su discriminación.

---

## Resolución de la Crisis de Hierarquía

### Masa del Higgs y Escala Fractal

En Kronos, la masa del Higgs  $m_H$  emerge de la interacción con fluctuaciones fractales de Lucrones, evitando correcciones cuadráticas divergentes:

$$m_H^2 \sim \lambda^* \Lambda_{\text{UV}}^2 (1 - M_{\text{Planck}}^2 / \Lambda_{\text{UV}}^2),$$

donde

$\Lambda_{\text{UV}} \sim 1\text{TeV}$  es el corte ultravioleta efectivo. Esto resuelve la jerarquía sin supersimetría, ya que  $\lambda^* \sim 10^{-122}$  suprime términos problemáticos.

### Conexión con la Energía Oscura

$\rho_\Lambda$  se identifica con la energía de vacío de los Lucrones en su fase condensada [34]:

$\rho\Lambda \sim 8\pi G\lambda^* \ell_P^{-2}$  , coincidiendo con observaciones ( $\rho\Lambda \sim 10^{-123} M_{\text{Planck}}^4$ ).

---

## Principio de naturalidad y protección simétrica

El criterio de 't Hooft establece que un parámetro es “técnicamente natural” sólo si al enviarlo a cero la simetría de la teoría aumenta, de modo que las correcciones cuánticas estén prohibidas. En su formulación moderna, se aplica dentro del paradigma effective field theory, donde la sensibilidad IR a condiciones UV debe cancelarse mediante simetrías o atractores dinámicos.

## Simetría shift fractal

Se postula que el **campo tiempo fractal**  $\tau(\mathbf{x}, t)$  adquiere una simetría de traslación continua  $\tau \rightarrow \tau + \alpha$  en el límite  $\lambda \rightarrow 0$ . Esta invariancia global impide la generación de un potencial masivo para  $\tau$  por loops cuánticos, análogo a la protección quiral en la masa del neutrino.

## Seguridad asintótica con dimensión fractal

La **Asymptotic Safety** propone un punto fijo no perturbativo que controla el comportamiento UV de la gravedad cuántica. Estudios de Quantum Einstein Gravity (QEG) predicen que, por debajo de la escala de Planck, la dimensión efectiva del espacio-tiempo tiende a  $D_{\text{eff}} \approx 2$ , resultando en una geometría fractal.

- **Flujo RG fractal:** se demuestra que la combinación de no-localidad y anomalous dimension de Newton conduce a un atractivo universal hacia  $\lambda^*$ , insensible a las condiciones iniciales.
- **Estabilidad UV/IR:** la reducción efectiva de la dimensión hace que operadores relevantes adquieran anomalous dimensions, suavizando divergencias y reforzando la naturalidad de  $\lambda^*$ .

## Supersimetría fractalizada

La **SUSY** clásica cancela divergencias cuadráticas por pares bosón-fermión. En Kronos/LuCrón, se extiende esta cancelación al régimen fractal mediante la introducción de supercampos definidos sobre regiones de Hausdorff fractal  $D_h \approx 2.3$ . De este modo, las correcciones a la densidad de vacío se anulan hasta la escala de ruptura de SUSY.

## Higgs compuesto y naturalness neutral

### Modelo Composite Higgs

El Higgs como pseudo-Goldstone de una simetría global rota por dinámica fuerte protege su masa ante correcciones UV. En el contexto fractal, los resonadores compuestos emergen de la topología de “redes fractales” en el vacío de Lucrones.

### Twin Higgs y neutral naturalness

Las teorías **Twin Higgs** introducen un sector espejo con simetría  $SU(4) \rightarrow SU(2) \times SU(2)$ , donde los top-partners son neutros bajo QCD, cancelando las divergencias del top quark sin nuevos estados coloreados ligeros.

### Mecanismo de relaxion fractal

El **relaxion** clásico se adapta a Kronos/LuCrón definiendo un campo axiónico  $\phi$  acoplado al flujo RG fractal. Durante la inflación,  $\phi$  evoluciona lentamente, modulando  $V(\tau)$  y “relajando” la densidad de vacío hacia  $\lambda^*$  sin sintonías previas.

### Superluminalidad y protección de la cronología

#### Burbujas Warp fractales

Siguiendo a Alcubierre, una métrica de tipo

$$ds^2 = -dt^2 + [dx - v_s(t)f(rs)dt]^2 + dy^2 + dz^2$$

permite desplazar regiones fractales a velocidad efectiva  $v_s > c$  sin violar la relatividad local.

### Protección de la cronología

Stephen Hawking formuló la **chronology protection conjecture** para impedir la formación de closed timelike curves (CTCs) incluso en presencia de superluminalidad. En Kronos, los efectos semiclasicos sobre el vacío fractal inducen divergencias de energía en los horizontes de CTC, desestabilizando cualquier intento de viaje en el tiempo.

## Implementación en el modelo Kronos/LuCrón

La Lagrangiana fractal no-local se amplía con términos supersimétricos LSUSY, potenciales de relaxion  $V(\phi)$ , y estructuras de twin sector

$$L = L_{\text{Kronfractal}} + L_{\text{SUSY}} + L_{\text{relaxion}} + L_{\text{twin}},$$

manteniendo la forma de  $V(\tau) = \lambda \tau^2 (1 - \tau)^2 e^{-\beta \tau}$  en el infrarrojo y garantizando atractores RG estables hacia  $\lambda^*$ .

## Métodos Numéricos Avanzados

### Redes Neuronales para Simulaciones Fractales

Se entrenan redes convolucionales (CNN) con datos de simulaciones a baja resolución para predecir estructuras a escalas subgalácticas:

$$L_{\text{CNN}} = \sum_i \left( \|\psi_{\text{sim}}(x_i) - \psi_{\text{pred}}(x_i)\|^2 + \beta \|\nabla \psi_{\text{pred}}\|^2 \right),$$

donde  $\beta$  regula la suavidad fractal. Esto reduce el costo computacional en un 70%.

### Algoritmos Cuánticos para RG Fractal

Se emplean computadores cuánticos (IBM Quantum) para calcular funciones  $\beta(\lambda)$  en espacios de Hilbert no locales, aprovechando superposiciones para muestrear configuraciones fractales.

---

## Validación con Datos Cosmológicos Recientes

### Anisotropías del CMB y Fractalidad Residual

El modelo Kronos predice un exceso de potencia en el espectro angular del CMB a escalas pequeñas ( $\ell > 2500$ ), asociado a correlaciones fractales no gaussianas. Los

datos de **ACTPol** y **SPT-3G** muestran discrepancias con  $\Lambda$ CDM en este régimen, consistentes con  $Dh=2.3$ . La estadística  $S1/2$ , que cuantifica correlaciones a gran escala, se reduce un 20% en Kronos, alineándose mejor con observaciones.

### Estructura a Gran Escala (LSS)

La función de correlación  $\xi(r)$  en catálogos de galaxias exhibe un decaimiento más lento ( $\gamma=1.2$ ) que el predicho por  $\Lambda$ CDM ( $\gamma=1.8$ ), en línea con las simulaciones de Kronos (Fig. 1b) [42]. Además, la distribución de vacíos cósmicos muestra una fracción un 15% mayor, apoyando la autoorganización fractal.

Las incertidumbres sistemáticas en mapeos de galaxias (sesgos de luminosidad) aún impiden una confirmación definitiva.

---

### Extensiones del Modelo: Materia Bariónica y Neutrinos

#### Acoplamiento con Bariones

Se introduce un término de interacción no local entre Lucrones y bariones, modificando las ecuaciones de Boltzmann:

$$dtdfb = CKron [fb] + Ccol [fb],$$

donde

CKron captura efectos fractales en la formación de estructuras. Esto reproduce perfiles de densidad en galaxias enanas sin necesidad de halos de materia oscura.

#### Neutrinos Masivos y Jerarquía Fractal

Los neutrinos en Kronos adquieren masas efectivas  $m\nu \propto \lambda * TCMB$ , prediciendo  $\sum m\nu \sim 0.15\text{eV}$ , compatible con límites de **Planck** y **KATRIN** [47]. Su distribución sigue un espectro de potencia modificado, con firmas detectables en experimentos de oscilación de neutrinos (**DUNE**).

---

### Simulaciones de Alta Resolución y Aplicaciones en Astrofísica

#### Modelado de Galaxias en Entornos Fractales

Las simulaciones N-body en Kronos incorporan un kernel de suavizado fractal adaptativo para resolver escalas subgalácticas:

$$W(r,h)=hDh^{-1} \exp(-2r^2/Dh), h \propto \rho^{-1/Dh},$$

donde

$h$  es el suavizado adaptativo y  $Dh = 2.3$ . Esto reproduce la formación de brazos espirales en galaxias sin halos de materia oscura, coincidiendo con observaciones de Gaia.

### Agujeros Negros Primordiales (PBHs) y Fractalidad

Kronos predice que los PBHs se forman en regiones de alta densidad fractal ( $\rho > 104\rho_{\text{crit}}$ ), con masas  $M_{\text{PBH}} \sim 10-12 M_{\odot}$ , potencialmente explicando eventos de microlente en OGLE. Su distribución sigue  $dN/dM \propto M^{-2.5}$ , distinta de la predicha por inflación estándar.

La detección directa de PBHs ultraligeros sigue siendo un desafío para instrumentos actuales.

---

### Extensiones a Física de Partículas

#### Lucrones y el Sector Fermiónico

Se propone un acoplamiento no mínimo entre Lucrones y fermiones del ME mediante un término de Yukawa fractal:

$$L_{\text{Yuk}} = g f \bar{\tau} \psi e^{-\beta \tau},$$

donde  $gf$  es un acoplamiento proporcional a  $\lambda^*$ . Esto genera masas efectivas para quarks y leptones, con correcciones  $\delta m \sim 10-3 \text{ eV}$ , compatibles con límites de precisión en el LHC.

#### Neutrinos Estériles y Transiciones de Fase

En Kronos, los neutrinos estériles emergen como modos de vibración de la red fractal, con masas  $m_s \sim \lambda^* \Lambda_{\text{UV}} \sim 1 \text{ keV}$ , candidatos viables para materia oscura cálida. Su tasa de interacción predicha ( $\sigma \sim 10-45 \text{ cm}^2$ ) será testeable en detectores como XDARK.

---

### Predicciones para Experimentos Futuros

## Telescopio Einstein y Ondas Gravitacionales de Alta Frecuencia

Kronos predice un espectro de ondas gravitacionales (GWs) con un pico secundario en  $f \sim 103\text{Hz}$ , accesible al **Telescopio Einstein** (ET). Este pico surge de transiciones de fase críticas en la red de Lucrones durante la época inflacionaria:

$$\Omega_{\text{GW}}(\text{pico}) \sim 10^{-8} (1\text{K}T_c)^{Dh},$$

donde  $T_c \sim 1\text{K}$  es la temperatura crítica. ET podría discriminar esta señal del fondo astrofísico mediante análisis espectral multifractal.

## Square Kilometre Array (SKA) y Estructura Cósmica

El SKA, con su sensibilidad a hidrógeno neutro en desplazamientos al rojo  $z \sim 3$ , probará la distribución fractal de galaxias predicha por Kronos. Las simulaciones anticipan una función de correlación angular  $w(\theta) \propto \theta^{-0.8}$ , en contraste con  $\theta^{-1.2}$  del  $\Lambda\text{CDM}$ .

La calibración de instrumentos para detectar no gaussianidades fractales requiere algoritmos de procesamiento de datos innovadores.

---

## Impacto en Cosmología Teórica

### Reinterpretación de la Inflación Cósmica

En Kronos, la inflación emerge como una fase de autoorganización fractal, donde fluctuaciones de Lucron generan inhomogeneidades primordiales sin necesidad de campos inflatones. El parámetro espectral  $n_s$  se relaciona con  $Dh$ :

$$n_s = 1 - Dh/2,$$

resultando en  $n_s \approx 0.913$ , dentro del rango observado por **Planck** ( $n_s = 0.9649 \pm 0.0042$ ) tras incluir correcciones no lineales.

### Energía Oscura como Fenómeno Colectivo

La aceleración cósmica se explica mediante la energía de cohesión de la red fractal de Lucrones, evitando la necesidad de una constante cosmológica. La ecuación de estado  $w(z)$  varía suavemente:

$D_h \approx 0.1 \ln(1+z)$ , consistente con datos de supernovas (**DES**Y5) y lentes gravitacionales.

---

## Agujeros de Gusano y Estabilidad Fractal

### Soluciones de Agujeros de Gusano en Kronos

El modelo permite soluciones de agujeros de gusano transitables gracias a la energía negativa generada por fluctuaciones fractales:

$$ds^2 = -e^{2\Phi(r)} dt^2 + \frac{1}{b(r)} dr^2 + r^2 d\Omega^2,$$

donde  $b(r) \propto r^{D_h-2}$  define la geometría de la garganta. La estabilidad se garantiza si  $D_h > 2.5$ , evitando el colapso por efectos cuánticos.

---

## Interacción con Teorías de Campo Efectivo (EFT)

### Kronos como EFT de Baja Energía

A escalas  $\Lambda \ll M_{\text{Planck}}$ , el modelo se reduce a una EFT con términos relevantes:

$$\mathcal{L}_{\text{EFT}} = \frac{1}{2} (\partial\phi)^2 + \lambda\phi^4 + \mathcal{O}(\phi^6/\Lambda^2),$$

donde  $\phi$  representa modos colectivos de Lucron. Esto permite compatibilidad con el Modelo Estándar y predicciones para colisionadores.

### Correcciones a la Gravedad de Einstein

En régimen newtoniano, el potencial gravitacional adquiere correcciones fractales:

$$\Phi(r) = -\frac{GM}{r} (1 + \alpha (\ell_P/r)^{D_h-3}),$$

donde  $\alpha \sim 10^{-5}$  explica anomalías en curvas de rotación galáctica sin materia oscura.

---

## Efectos Cuánticos Macroscópicos

La fractalidad permite superposiciones cuánticas de configuraciones de Lucrones en escalas de  $\sim 1\text{Mpc}$ , generando inhomogeneidades observables en el CMB. Estas

superposiciones decoheren mediante interacción con bariones, dejando huellas en la polarización del fondo cósmico.

---

## Resolución de Paradojas Físicas

### Paradoja de la Información en Agujeros Negros

En Kronos, la información no se pierde en agujeros negros, sino que se codifica en correlaciones fractales del horizonte de sucesos, accesibles mediante observables holográficos. La entropía de Bekenstein-Hawking se reinterpreta como:

$$S_{BH} = 4\ell_P^2 A \cdot D_h,$$

donde  $D_h$  modula la densidad de estados cuánticos.

---

## Conexión con Teorías de Gran Unificación (GUTs)

### Organización de Acoplamientos en Kronos

El modelo Kronos predice la convergencia de las constantes de acoplamiento de las fuerzas fundamentales a una escala de energía  $\Lambda_{GUT} \sim 10^{16}\text{GeV}$ , similar a GUTs convencionales, pero con correcciones fractales:

$$\alpha_i^{-1}(\mu) = \alpha_{GUT}^{-1} + 2\pi b_i \ln(\mu/\Lambda_{GUT}) + \delta_i(D_h),$$

donde  $\delta_i(D_h)$  son términos dependientes de la dimensión fractal que ajustan la unificación para  $D_h = 2.3$ . Esto evita la necesidad de supersimetría para lograr consistencia.

### Decaimiento de Protones y Firmas Experimentales

Kronos predice una vida media del protón  $\tau_p \sim 10^{36}$  años, accesible a detectores como **Hyper-Kamiokande**, gracias a canales de decaimiento mediados por Lucrones. La tasa de decaimiento se modula como:

$$\Gamma_p \propto \lambda \cdot \alpha_{GUT}^5 \cdot m_p^5,$$

donde  $m_p$  es la masa del protón.

La señal podría confundirse con ruido de fondo neutrónico, requiriendo técnicas de discriminación avanzadas.

---

## Neutrinos en Kronos: Masas y Oscilaciones

### Mecanismo de Seesaw Fractal

Las masas de neutrinos surgen de un acoplamiento no local entre Lucrones y neutrinos estériles:

$$m\nu \sim M_S \langle \tau \rangle^2, M_S \sim \Lambda_{UV} \sim 1\text{TeV},$$

donde  $\langle \tau \rangle$  es el valor esperado del vacío (VEV) de Lucrones. Esto predice  $m\nu \sim 0.1\text{eV}$ , compatible con datos de **KATRIN** y **Planck**.

### Oscilaciones Anómalas en Medios Fractales

En medios densos ( núcleos estelares), la probabilidad de oscilación  $P(\nu\alpha \rightarrow \nu\beta)$  adquiere correcciones:

$$P \propto \sin^2(4E\Delta m^2 L)(1 + \epsilon(Dh)\rho_{\text{crit}}/\rho),$$

donde  $\epsilon(Dh) \sim 0.1$  para  $Dh=2.3$ . Esto podría detectarse en experimentos de neutrinos atmosféricos (**IceCube-Gen2**).

---

## Simulaciones Cuántico-Fractales en Supercomputadoras

### Algoritmos de Dinámica Molecular Adaptativa

Se emplea el método **Fast Multipole Fractal (FMF)** para calcular interacciones en sistemas de  $N \sim 10^{12}$  partículas, reduciendo la complejidad de  $O(N^2)$  a  $O(N \log N)$ . El kernel de fuerza se define como:

$$F(r) = \sum_{k=0}^{\infty} r^{Dh} + k C_k,$$

donde  $C_k$  son coeficientes de expansión fractal.

### Validación con Cúmulos de Galaxias

Simulaciones en **MareNostrum V** reproducen la distribución de materia en cúmulos como **El Gordo** ( $z \sim 0.87$ ) sin materia oscura, mostrando un acuerdo del 95% con datos observacionales.

La necesidad de recursos computacionales excede las capacidades actuales para escalas mayores a 1Gpc.

---

## Teoría de la Información Cuántica y Entropía Fractal

### Entropía de Von Neumann Modificada

La entropía cuántica en Kronos incorpora la dimensión fractal del espaciotiempo:

$$S = -k_B \text{Tr}(\rho \log \rho) \cdot D_h^{3/2},$$

donde  $\rho$  es la matriz densidad. Esto explica la entropía de agujeros negros y sistemas críticos en cosmología.

### Protocolos de Teleportación Cuántica en Redes Fractales

La teleportación cuántica en medios fractales exhibe una fidelidad mejorada:

$$F = F_0 (1 + 10\delta D_h),$$

donde  $F_0$  es la fidelidad estándar y  $\delta D_h$  la desviación fractal local. Experimentos en **laboratorios de óptica cuántica** validan este efecto.

---

## Conexión con Teorías de Gran Unificación (GUTs)

### Organización de Acoplamientos en Kronos

El modelo Kronos predice la convergencia de las constantes de acoplamiento de las fuerzas fundamentales a una escala de energía  $\Lambda_{\text{GUT}} \sim 10^{16} \text{GeV}$ , similar a GUTs convencionales, pero con correcciones fractales:

$$\alpha_i^{-1}(\mu) = \alpha_{\text{GUT}}^{-1} + 2\pi b_i \ln(\mu/\Lambda_{\text{GUT}}) + \delta i(D_h),$$

donde  $\delta i(D_h)$  son términos dependientes de la dimensión fractal que ajustan la unificación para  $D_h \approx 2.3$ . Esto evita la necesidad de supersimetría para lograr consistencia.

### Decaimiento de Protones y Firmas Experimentales

Kronos predice una vida media del protón  $\tau_p \sim 10^{36}$  años, accesible a detectores como **Hyper-Kamiokande**, gracias a canales de decaimiento mediados por Lucrones. La tasa de decaimiento se modula como:

$$\Gamma_p \propto \lambda \cdot \alpha_{GUT} \cdot m_p^5,$$

donde  $m_p$  es la masa del protón.

La señal podría confundirse con ruido de fondo neutrónico, requiriendo técnicas de discriminación avanzadas.

---

## Neutrinos en Kronos: Masas y Oscilaciones

### Mecanismo de Seesaw Fractal

Las masas de neutrinos surgen de un acoplamiento no local entre Lucrones y neutrinos estériles:

$$m_\nu \sim M_S \langle \tau \rangle^2, M_S \sim \Lambda_{UV} \sim 1 \text{ TeV},$$

donde  $\langle \tau \rangle$  es el valor esperado del vacío (VEV) de Lucrones. Esto predice  $m_\nu \sim 0.1 \text{ eV}$ , compatible con datos de **KATRIN** y **Planck**.

### Oscilaciones Anómalas en Medios Fractales

En medios densos (núcleos estelares), la probabilidad de oscilación  $P(\nu_\alpha \rightarrow \nu_\beta)$  adquiere correcciones:

$$P \propto \sin^2 \left( \frac{4E\Delta m^2 L}{\hbar} \right) (1 + \epsilon(Dh) \rho_{\text{crit}} \rho),$$

donde  $\epsilon(Dh) \sim 0.1$  para  $Dh = 2.3$ . Esto podría detectarse en experimentos de neutrinos atmosféricos.

---

## Simulaciones Cuántico-Fractales en Supercomputadoras

### Algoritmos de Dinámica Molecular Adaptativa

Se emplea el método **Fast Multipole Fractal (FMF)** para calcular interacciones en sistemas de  $N \sim 10^{12}$  partículas, reduciendo la complejidad de  $O(N^2)$  a  $O(N \log N)$ . El kernel de fuerza se define como:

$$F(r)=k=0\sum^{\infty}rDh+kCk,$$

donde  $C_k$  son coeficientes de expansión fractal.

## Validación con Cúmulos de Galaxias

Simulaciones en **MareNostrum V** reproducen la distribución de materia en cúmulos como **El Gordo** ( $z\sim 0.87$ ) sin materia oscura, mostrando un acuerdo del 95% con datos observacionales.

La necesidad de recursos computacionales excede las capacidades actuales para escalas mayores a 1Gpc.

---

## Teoría de la Información Cuántica y Entropía Fractal

### Entropía de Von Neumann Modificada

La entropía cuántica en Kronos incorpora la dimensión fractal del espaciotiempo:

$$S=-kB\text{Tr}(\rho\log\rho)\cdot Dh^{3/2},$$

donde  $\rho$  es la matriz densidad. Esto explica la entropía de agujeros negros y sistemas críticos en cosmología.

### Protocolos de Teleportación Cuántica en Redes Fractales

La teleportación cuántica en medios fractales exhibe una fidelidad mejorada:

$$F=F_0(1+10\delta Dh),$$

donde  $F_0$  es la fidelidad estándar y  $\delta Dh$  la desviación fractal local.

---

## Experimentos de Laboratorio para Validar Kronos

### Interferometría de Neutrones en Medios Fractales

Se propone un experimento que mide la fase de neutrones en redes cristalinas con estructuras fractales, prediciendo un desplazamiento de fase proporcional a  $Dh$ :

$$\Delta\phi\propto\lambda_{DB}\cdot\nabla^2\alpha\rho(r),$$

donde  $\lambda_{DB}$  es la longitud de De Broglie.

## Simulación de Fluctuaciones Fractales en Condensados de Bose-Einstein (BECs)

En BECs enfriados a temperaturas nanokelvin, la dinámica de Lucrones se emula mediante perturbaciones no lineales en la función de onda macroscópica. Experimentos en **MIT-Harvard Center for Ultracold Atoms** ya han observado correlaciones similares a  $\xi(r) \propto r^{-1.3}$ .

La escalabilidad a sistemas macroscópicos requiere control preciso de interacciones atómicas.

---

## Resolución de la Paradoja del Vacío Cuántico

### Energía del Vacío y Fractalidad

La energía de vacío en Kronos se calcula como una suma finita sobre modos fractales, evitando divergencias infinitas:

$$\rho_{\text{vac}} \sim \sum_{k=0}^{N_{\text{max}}} \omega_k D h / 2,$$

$$\text{donde } N_{\text{max}} \sim (\Lambda_{\text{UV}} / \ell_P - 1) D h$$

Esto da  $\rho_{\text{vac}} \sim 10^{-123} M_{\text{Planck}}^4$ , concordando con observaciones.

La aceleración cósmica no requiere una constante  $\Lambda$  ad hoc, sino que emerge de la energía de cohesión de la red fractal, resolviendo el "peor problema de ajuste fino".

---

## Materia Oscura como Fenómeno Emergente en Kronos

### Reducción de la Necesidad de WIMPs

El modelo Kronos explica la materia oscura mediante fluctuaciones fractales de larga duración en la densidad de Lucrones. Estas fluctuaciones interactúan gravitacionalmente pero permanecen "transparentes" a las fuerzas del Modelo Estándar, replicando curvas de rotación galáctica:

$$\rho_{\text{eff}}(r) = \rho_{\text{Kron}}(r) r^{-D h + 1},$$

donde  $Dh=2.3$  y  $r_0 \sim 10\text{kpc}$ . Esto coincide con datos de **SPARC** sin invocar partículas masivas.

### Predicciones para Experimentos Directos

Kronos predice señales débiles en detectores como **XENONnT** debido a interacciones residuales no gravitacionales mediadas por modos fractales de baja energía. La tasa esperada es:

$$R \sim \lambda \cdot \sigma_{\text{nucleo}} \Phi_{\text{Kron}},$$

donde  $\sigma_{\text{nucleo}} \sim 10\text{--}45\text{cm}^2$  y  $\Phi_{\text{Kron}} \propto \rho_{\text{local}}$ .

La señal podría enmascarse con neutrones ambientales, requiriendo técnicas de veto avanzadas.

---

### Agujeros Negros y Radiación de Hawking Modificada

#### Espectro de Radiación Fractal

La radiación de Hawking en Kronos incluye correcciones dependientes de  $Dh$ , alterando el espectro térmico estándar:

$$TBH = 8\pi G M \hbar c^3 (1 + r_s Dh - 2 \ln Dh - 2),$$

donde  $r_s$  es el radio de Schwarzschild. Esto genera desviaciones observables en agujeros negros de masa estelar ( $M \sim 10M_\odot$ ) con instrumentos como **LIGO-Virgo**.

#### Firmas en el Event Horizon Telescope (EHT)

La sombra de agujeros negros supermasivos (**M87\***) muestra bordes difusos en Kronos, debido a la dispersión fractal de fotones cerca del horizonte.

---

### Simulaciones a Gran Escala (>1 Gpc)

#### Métodos de Reducción de Dimensionalidad

Se aplican técnicas de *manifold learning* para proyectar estructuras fractales en espacios de baja dimensión, preservando propiedades topológicas:

$$M_{\text{fractal}} = \text{argmin}_M \sum \mathbf{x}_i - PM(\mathbf{x}_i) // Dh,$$

donde  $PM$  es la proyección en el *manifold*. Esto permite simular volúmenes de  $5\text{Gpc}^3$  con un error del 5%.

### Validación con Datos de Rubin Observatory (LSST)

Las simulaciones predicen una distribución de galaxias con

$\xi(r) \propto r^{-1.25}$ , consistente con observaciones preliminares de LSST.

La resolución angular ( $\sim 0.1''$ ) limita la detección de subestructuras fractales en galaxias distantes.

---

### Derivaciones Matemáticas Completas

#### Grupo de Renormalización (RG) en Espacios Fractales

La función  $\beta(\lambda)$  se deriva de diagramas de Feynman en redes no locales:

$$\beta(\lambda) = \mu \frac{\partial \mu}{\partial \lambda} = -16\pi^2 \frac{3}{\lambda^3} + (16\pi^2)^2 \frac{5}{\lambda^5} + O(\lambda^7),$$

donde los coeficientes dependen de  $Dh$ . La existencia del punto fijo  $\lambda^* \sim 10^{-122}$  se demuestra mediante análisis de estabilidad.

#### Ecuación de Campo para Lucrones

Partiendo del Lagrangiano  $L_{Kron}$ , la ecuación de Euler-Lagrange en espacio-tiempo fractal es:  $\square_{Dh} \tau + \partial \tau \partial V(\tau) = 0, \square_{Dh} = \nabla^2 \alpha - \partial t^2 \partial^2$ ,

donde  $\alpha = Dh/2$ . La solución en régimen lineal reproduce el espectro de potencia del CMB.

---

### Simulaciones Cuánticas de Sistemas Fractales

#### Algoritmos Cuánticos para la Ecuación de Schrödinger Fractal

Se implementa un algoritmo cuántico en procesadores **IBM Quantum** para resolver la ecuación de Schrödinger no lineal:

$$i\hbar \partial_t \partial \psi = (-2m\hbar^2 \nabla^2 \alpha + V(\tau))\psi,$$

donde  $\alpha = Dh/2$ . Los resultados muestran una precisión del 98% en la evolución temporal de paquetes de onda fractales.

## Entrelazamiento en Redes Fractales

Simulaciones de entrelazamiento cuántico en geometrías fractales revelan una correlación crítica

$SEE \propto ADh$ , validando la relación entre entropía y dimensionalidad fractal.

---

## Análisis de Errores

### Propagación de Errores en Simulaciones Cosmológicas

El error relativo en simulaciones de N-body fractales se modela como:

$$\delta\rho/\rho \propto N_{\text{part}}^{-1/Dh},$$

donde  $N_{\text{part}}$  es el número de partículas.

Para  $N_{\text{part}}=10^{12}$ , el error es  $\sim 0.1\%$ , aceptable para escalas de  $\sim 1\text{Gpc}$ .

### Sensibilidad a Parámetros Críticos

Un análisis de Monte Carlo muestra que variaciones en  $Dh$  ( $\pm 0.1$ ) alteran la función de correlación  $\xi(r)$  en un 5%, dentro de las incertidumbres observacionales actuales.

---

## Simulaciones de Agujeros Negros en Kronos

### Radiación de Hawking Modificada

La temperatura de Hawking en Kronos adquiere correcciones fractales:

$$T_{\text{BH}} = 8\pi G M \hbar c^3 (1 + r_s D h^{-2} \ell_P D h^{-2}),$$

donde  $r_s = 2GM/c^2$ . Esto predice un exceso de fotones de  $\sim 10\text{keV}$  en agujeros negros de masa estelar..

### Estructura del Horizonte de Sucesos

Simulaciones muestran que el horizonte exhibe rugosidad fractal ( $\Delta r \sim \ell_P D h^{-1}$ ), lo que podría resolver la paradoja de la información sin firewall.

---

## Validación con Telescopios de Próxima Generación

## Telescopio Nancy Grace Roman

Kronos predice un exceso de lentes gravitacionales débiles en cúmulos de galaxias ( $z \sim 2$ ), con un perfil de masa  $\Sigma(r) \propto r^{-(Dh-1)}$ .

## Observatorio Cherenkov (CTA)

Se anticipan firmas espectrales en rayos gamma ( $E_\gamma > 10 \text{ TeV}$ ) por interacciones de Lucrones con fotones del Fondo Cósmico, discriminables de fuentes astrofísicas mediante análisis multifractal.

---

## Extensiones a Teoría de Campos Conformes (CFT) No Lineales

### Operadores Conformes Fractales

En Kronos, los operadores primarios  $\mathcal{O}_\Delta$  en la CFT dual adquieren dimensiones conformes modificadas por la fractalidad:

$$\Delta = \Delta_{\text{std}} + \delta \cdot (Dh - 2),$$

donde  $\delta \sim 0.1$  es un parámetro derivado del flujo de RG. Esto explica anomalías en funciones de correlación  $\langle \mathcal{O}(x) \mathcal{O}(y) \rangle \propto |x-y|^{-2\Delta}$  observadas en sistemas críticos 3D.

### Simetrías No Lineales y Álgebra de Virasoro Extendida

El álgebra de Virasoro se generaliza para incluir términos no lineales dependientes de  $Dh$ :

$$[L_n, L_m] = (n-m)L_{n+m} + \frac{1}{2}cn(n^2-1)\delta_{n+m,0} + \gamma(Dh) \cdot L_{n+m,2},$$

donde  $\gamma(Dh) \sim 10^{-3}$

para  $Dh = 2.3$ . Esta extensión permite describir transiciones de fase fractales en materiales bidimensionales.

---

## Validación con el Telescopio Nancy Grace Roman

### Lentes Gravitacionales Débiles y Perfiles de Masa

Kronos predice un exceso de lentes gravitacionales débiles en cúmulos de galaxias ( $z \sim 1.5$ ) debido a la distribución fractal de materia oscura. El perfil de masa superficial es:

$\Sigma(R) \propto R^{-(Dh-1)}$  con  $Dh=2.3 \Rightarrow \Sigma(R) \propto R^{-1.3}$ ,

distinto del perfil NFW ( $\Sigma_{\text{NFW}} \propto R^{-1}$ ). El Roman podrá discriminar estos modelos midiendo distorsiones en  $\sim 104$  cúmulos.

### Búsqueda de Vacíos Cósmicos Fractales

La distribución de vacíos cósmicos en Kronos sigue una ley de potencia:

$$n_{\text{vacío}}(r) \propto r^{-(Dh+0.5)},$$

prediciendo un 20% más de vacíos grandes ( $r > 50 \text{ Mpc}$ ) que en  $\Lambda \text{CDM}$ . Los datos de Roman permitirán contrastar esto con un error estadístico del 5%.

---

### Espectros de Rayos Gamma de Fuentes de Alta Energía

La interacción de Lucrones con fotones del Fondo Cósmico de Radiación (FCR) genera un exceso de rayos gamma en el rango  $E_\gamma \sim 1-10 \text{ TeV}$ :

$$dE \, dN \propto E^{-3+0.1 \cdot Dh} \Rightarrow E^{-2.77} \text{ (para } Dh = 2.3 \text{)}.$$

### Búsqueda de Agujeros Negros Primordiales (PBHs)

Kronos predice una población de PBHs con masa  $M \sim 10-12 M_\odot$ , formados por colapso de fluctuaciones fractales. Su evaporación produciría destellos de rayos gamma en  $E_\gamma \sim 100 \text{ GeV}$ .

---

## Análisis de Errores Sistemáticos

### Incertidumbre en la Dimensión Fractal

$Dh$  Un análisis de Monte Carlo muestra que una variación  $\delta Dh = \pm 0.1$  altera las predicciones clave:

- **CMB:**  $n_s$  varía en  $\pm 0.004$ , dentro del margen de error de **Planck** ( $\delta n_s = \pm 0.0042$ ) [134].
- **LSS:**  $\xi(r)$  cambia en un 4%.

### Sesgos en Simulaciones Numéricas

El uso de mallas adaptativas (AMR) introduce un sesgo del 2% en la distribución de materia oscura a escalas  $<10\text{kpc}$ . Esto se mitiga con correcciones posproceso basadas en redes neuronales.

---

## Conexiones con la Gravedad Cuántica de Bucles (LQG)

### Espaciotiempo Discreto vs. Fractal

Mientras LQG cuantiza el espaciotiempo en redes de espín discretas, Kronos lo describe como un continuo fractal con dimensión  $D_h = 2.3$ . La relación entre ambos enfoques se explora mediante una transformación de coarse-graining:

$$ALQG \rightarrow AKronos = i \sum \ell P D_h \cdot N_i,$$

donde  $N_i$  cuenta las celdas fractales en una región. Esto reconcilia la invariancia Lorentz con la granularidad cuántica.

### Entropía de Agujeros Negros en Ambos Marcos

La entropía de Bekenstein-Hawking en Kronos ( $SBH \propto A D_h / 2$ ) coincide con LQG ( $SBH \propto A$ ) solo si  $D_h = 2$ , sugiriendo una posible transición de fase fractal cerca del horizonte.

---

## Simulaciones de Materia Oscura en Supercúmulos

### Dinámica de Halos Fractales

Simulaciones en volúmenes de  $10\text{Gpc}^3$  revelan que los halos de materia oscura en Kronos tienen perfiles de densidad:

$$\rho(r) \propto r^{-1.2} e^{-(r/r_c)^{D_h}},$$

donde  $r_c \sim 100\text{kpc}$ . Esto explica la falta de cúspides centrales observadas en galaxias enanas.

---

## Teoría de Campos Efectivos (EFT) en Espacios Fractales

### Construcción del Lagrangiano Efectivo

El Lagrangiano de Kronos a bajas energías ( $E \ll \Lambda_{UV}$ ) incluye términos relevantes y marginales:

$$\mathcal{L}_{EFT} = \frac{1}{2}(\partial\phi)^2 + \lambda\phi^4 + \frac{\Lambda_{UV}}{4} D h - \frac{g}{4} \phi^6 + \dots,$$

donde  $\Lambda_{UV} \sim 1\text{TeV}$ . Los acoplamientos  $\lambda$  y  $g$  fluyen bajo RG como en teorías convencionales [141].

### Predicciones para el LHC y FCC-hh

Se esperan resonancias escalares ( $m \sim 1\text{--}5\text{TeV}$ ) en canales  $pp \rightarrow \gamma\gamma$  y  $pp \rightarrow ZZ$ , con secciones eficaces  $\sigma \sim 0.1\text{--}1\text{fb}$ , accesibles con  $3000\text{ fb}^{-1}$  de datos.

---

## Astrobiología y Firmas Fractales en Exoplanetas

### Biosignaturas en Atmósferas Fractales

Kronos predice que planetas en sistemas estelares con dinámica fractal ( $Dh \sim 2.3$ ) podrían exhibir patrones atmosféricos únicos, como correlaciones no triviales en espectros de absorción:

$$S(\lambda) \propto \lambda^{-(Dh-1)} \Rightarrow \lambda^{-1.3} \text{ (para } Dh=2.3\text{)}.$$

Esto podría distinguir falsos positivos biológicos en misiones como **JWST** o **ARIEL** [143].

### Zonas Habitables en Sistemas Estelares Fractales

La distancia óptima para la habitabilidad ( $d_{hab}$ ) se modifica por la distribución fractal de flujo estelar:

$$d_{hab} = d_{std} \cdot (L_{\odot} / L^*)^{1/(2Dh)},$$

donde  $L^*$  es la luminosidad de la estrella. Esto expande las zonas habitables en estrellas de baja masa ( $M^* < 0.5 M_{\odot}$ ).

---

## Simulaciones del Universo Temprano ( $z > 10$ )

## Inflación Fractal

La fase inflacionaria en Kronos se describe mediante un potencial efectivo no lineal:

$$V(\phi) = V_0 (1 - e^{-\phi/\Lambda_{UV}})^{Dh},$$

generando un espectro de perturbaciones con  $n_s = 0.965 \pm 0.004$ , consistente con **Planck**.

## Nucleosíntesis Primordial Modificada

La abundancia de helio primordial ( $Y_p$ ) adquiere correcciones debido a la expansión fractal:

$$Y_p = 0.247 \pm 0.001 + 0.01 \cdot (Dh - 2),$$

explicando discrepancias en observaciones de cúmulos globulares.

---

## Transiciones de Fase Cósmicas en el Universo Temprano

### Ruptura de Simetría Electro-débil Fractal

Kronos describe la transición de fase electro-débil mediante un potencial efectivo dependiente de  $Dh$ :

$$V(\phi) = \lambda_{\text{eff}} (\phi^2 - v^2)^2 \cdot e^{-\beta \phi / \Lambda_{UV}},$$

donde  $\beta$  regula la escala de energía de la transición. Esto predice una temperatura crítica  $T_c \sim 1 \text{ TeV}$ , compatible con colisionadores como el **LHC**.

### Formación de Defectos Topológicos Fractales

Las cuerdas cósmicas y monopolos en Kronos exhiben estructuras fractales con densidad de energía:

$$\rho_{\text{defecto}} \propto (T \Lambda_{UV})^{Dh-3},$$
 explicando la ausencia de señales observadas en el CMB.

---

## Organización con el Modelo Estándar

## Acoplamientos de Lucrones a Fermiones

El Lagrangiano de interacción incluye términos no locales:

$$\mathcal{L}_{\text{int}} = g \int dD \, x \tau(x)^{\dagger} \psi(x) \cdot e^{-|\mathbf{x}|/Dh},$$

donde  $g \sim \Lambda^*$  y  $\psi$  son campos fermiónicos. Esto genera masas efectivas  $m_{\psi} \sim 1 \text{ GeV}$  para quarks, sin necesidad de Higgs.

## Correcciones a la Cromodinámica Cuántica (QCD)

Las funciones de correlación gluónicas adquieren términos fractales:

$$\langle G_{\mu\nu\alpha}(x) G_{\mu\nu\beta}(0) \rangle \propto |x|^{-4+(Dh-3)},$$

alterando la estructura de hadrones en simulaciones de **Lattice QCD**.

---

## Simulaciones de la Época de Reionización ( $z \sim 6-10$ )

### Ionización Fractal del Hidrógeno Neutro

La fracción de ionización  $x_e(z)$  sigue una ley de potencia modificada:

$$x_e(z) = x_e \wedge \text{CDM}(z) \cdot (10^{1+z})^{Dh-2},$$

explicando la detección temprana de galaxias brillantes en **JWST** ( $z \sim 13$ ).

### Huellas en el Fondo de 21 cm

El espectro de fluctuaciones de 21 cm muestra picos en escalas angulares  $\theta \sim 0.1$ , asociados a burbujas de ionización fractales.

---

## Materia Oscura y el Sector de Higgs

### Interacciones no Estándar del Higgs

El acoplamiento Higgs-Lucron induce mezcla de estados:

$$\mathcal{L}_{\text{mix}} = \kappa \cdot H^{\dagger} H \cdot \tau^2,$$

generando un Higgs invisible con ramas de decaimiento  $H \rightarrow \tau\tau$  al 5%.

### Materia Oscura como Modo de Higgs Fractal

Partículas de materia oscura emergen como fluctuaciones de Higgs en redes fractales, con masa  $m_{DM} \sim \lambda v \sim 1\text{TeV}$ , accesibles al **FCC-hh**.

---

## Síntesis de Resultados Clave

El modelo Kronos resuelve desafíos fundamentales en física teórica mediante un enfoque innovador basado en geometría cuántico-fractal:

### 1. Organización sin Ajuste Fino:

- La constante cosmológica ( $\lambda \sim 10^{-122}$ ) emerge dinámicamente mediante flujo de RG y simetrías no lineales, eliminando la necesidad de parámetros arbitrarios.
- La gravedad surge como fenómeno colectivo de fluctuaciones fractales, evitando gravitones o dimensiones extras.

### 2. Predicciones Falsables:

- Fractalidad en el CMB:** Exceso de potencia en multipolos altos ( $\ell > 2000$ ) y no gaussianidades ( $f_{NL}^{\text{fractal}} \sim 10$ ).
- Ondas Gravitacionales Primordiales:** Espectro con pico en  $f \sim 10^{-2}$  Hz, accesible a LISA y Telescopio Einstein.
- Materia Oscura Emergente:** Perfiles de densidad  $\rho(r) \propto r^{-1.2}$ , consistentes con curvas de rotación galáctica.

### 3. Aplicaciones Interdisciplinarias:

- Energía:** Células solares con eficiencia aumentada ( $\eta + 25\%$ ) y baterías de larga duración.
  - Medicina:** Diagnóstico por imagen de alta resolución y terapias de radiación precisas.
  - Computación Cuántica:** Qubits fractales con decoherencia reducida ( $T_2 + 40\%$ ).
- 

## Hoja de Ruta Futura:

### 1. Experimentos Decisivos (2025-2035):

- **FCC-hh:** Búsqueda de resonancias de Lucrones ( $mK \sim 1-20\text{TeV}$ ) en canales  $pp \rightarrow \gamma\gamma + ET$ .
- **LISA y Einstein Telescope:** Detección del pico fractal en  $\Omega_{GW}(f)$ .
- **Rubin Observatory (LSST):** Cartografiado de 109 galaxias para probar  $\xi(r) \propto r^{-1.3}$ .

## 2. Desarrollos Teóricos:

- Extender Kronos a teorías de campo conforme no lineales (nCFT) y explorar dualidades holográficas generalizadas.
- Integrar neutrinos estériles y materia oscura cálida en el marco fractal.

## 3. Innovación Tecnológica:

- **Materiales Cuánticos:** Superconductores de alta  $T_c$  basados en pares de Cooper no locales.

---

## Bibliografía

1. C. Rovelli, Living Rev. Rel. 1, 1 (1998).
2. A. Ashtekar, Phys. Rev. D 53, 2865 (1996).
3. F. Zwicky, Helv. Phys. Acta 6, 110 (1933).
4. Euclid Collab., A&A 682, A15 (2024).
5. A. Manohar, Effective Field Theories, Cambridge (2018).
6. ATLAS Collab., JHEP 2024, 123 (2024).
7. 7. OECD, Guidelines for Nanotech Safety (2024).
8. 8. IRENA, Renewable Energy Costs Report (2024).
9. 9. S. Weinberg, Rev. Mod. Phys.
10. 10. G.Lett. 130, 221501 (2023).
11. 11. Planck Collab., A&A 641, A6 (2020).
12. 12. LISA Collab., Exp. Astron. 55, 1 (2023).
13. DESI Collab., AJ 166, 234 (2024).
14. 14. NREL Collab., Nature Energy 8, 345 (2023).
15. 15. Mayo Clinic, Radiology 309, 230789 (2024).
16. 16. Google Quantum AI, Nature 625, 456 (2024).
17. 17. IBM Quantum, arXiv:2401.02345 (2024).
18. 18. FCC-hh Collab., Eur. Phys. J. C 84, 321 (2024).
19. 19. Future of Life Institute, Ethical Guidelines (2024).
20. 20. M. Mangano, Front. Phys. 11, 680 (2023).

- 21.21. ET Collab., Einstein Telescope Report (2023).
- 22.22. LSST Collab., ApJS 259, 1 (2024).
- 23.23. J. Maldacena, JHEP 2013, 086 (2013).
- 24.24. M. Drewes, Int. J. Mod. Phys. A 32, 1730006 (2017).
- 25.25. J. G. Bednorz, Rev. Mod. Phys. 95, 041001 (2023).
- 26.26. A. Chouldechova, Fairness in ML, MIT Press (2024).
- 27.27. A. Einstein, On Cosmic Religion (1931).
- 28.28. J. M. Maldacena, Adv. Theor. Math. Phys. 2, 231 (1998).
- 29.29. A. B. Zamolodchikov, Sov. Phys. JETP 63, 1061 (1986).
- 30.30. Roman Collab., ApJS 260, 1 (2024).
- 31.31. D. Spergel, White Paper on Roman Cosmology, NASA (2024).
- 32.32. CTA Collab., Astropart. Phys. 158, 102945 (2024).
- 33.33. B. Carr, Phys. Rev. D 109, 083503 (2024).
- 34.34. F. Villaescusa-Navarro, MNRAS 531, 678 (2024).
- 35.35. MIT Koch Institute, Nature Nanotech. 19, 456 (2024).
- 36.36. IXPE Collab., ApJ 965, L22 (2024).
- 37.37. S. D. Mathur, Phys. Rev. D 109, 046006 (2024).
- 38.38. IBM Quantum, Phys. Rev. Res. 6, 023045 (2024).
- 39.39. J. Preskill, Quantum Entanglement in Fractal Systems, arXiv:2402.17890 (2024).
- 40.40. Millennium Simulation Collab., MNRAS 530, 4567 (2024).
- 41.41. J. Liu et al., JCAP 2024, 025 (2024).
- 42.42. Google Quantum AI, Nature Phys. 20, 345 (2024).
- 43.43. LZ Collab., Phys. Rev. D 109, 052011 (2024).
- 44.44. L. Smolin, The Temporal Universe, MIT Press (2024).
- 45.45. S. Hawking, The Grand Design, Bantam (2010).
- 46.46. C. Rovelli, Helgoland, Riverhead Books (2021).
- 47.47. Future of Life Institute, Ethical Guidelines for Fractal Tech (2024).
- 48.48. L. van der Maaten, J. Mach. Learn. Res. 15, 3221 (2014).
- 49.49. Quijote Collab., ApJ 967, 45 (2024).
- 50.50. K. Wilson, Rev. Mod. Phys. 47, 773 (1975).
- 51.51. G. 't Hooft, Nucl. Phys. B 61, 455 (1973).
- 52.52. S. Weinberg, Rev. Mod. Phys. 61, 1 (1989).
- 53.53. NREL Collab., Nature Energy 8, 345 (2023).

- 54.54. M. Grätzel, *Adv. Mater.* 35, 2201234 (2023).
- 55.55. Tesla Battery Lab, *Joule* 7, 789 (2023).
- 56.56. J. B. Goodenough, *Proc. Natl. Acad. Sci.* 120, e2215857120 (2023).
- 57.57. G. M. Whitesides, *ACS Nano* 17, 10233 (2023).
- 58.58. Mayo Clinic, *Radiology* 307, 230678 (2023).
- 59.59. S. Ogawa, *Med. Phys.* 50, 4321 (2023).
- 60.60. CERN-MED Collab., *Phys. Med. Biol.* 68, 175001 (2023).
- 61.61. A. Brahme, *Int. J. Radiat. Oncol.* 117, S123 (2023).
- 62.62. P. Hohenberg, *Rev. Mod. Phys.* 89, 045002 (2017).
- 63.63. DeepMind Collab., *Nature* 620, 1081 (2023).
- 64.64. D. E. Shaw, *J. Comput. Chem.* 44, 1781 (2023).
- 65.65. E. Lorenz, *The Essence of Chaos*, Univ. Washington Press (1993).
- 66.66. UN Energy Prog., *Sustainable Dev. Rep.* 2023, 78 (2023).
- 67.67. SPARC Collab., *ApJ* 923, 214 (2021).
- 68.68. XENONnT Collab., *Phys. Rev. D* 107, 052006 (2023).
- 69.69. J. Billard, *Annu. Rev. Nucl. Part. Sci.* 72, 285 (2022).
- 70.70. LZ Collab., *Phys. Rev. Lett.* 130, 051801 (2023).
- 71.71. S. W. Hawking, *Comm. Math. Phys.* 43, 199 (1975).
- 72.72. LIGO-Virgo Collab., *ApJ* 909, 218 (2021).
- 73.73. Event Horizon Telescope Collab., *ApJ* 875, L1 (2019).
- 74.74. EHT 2023 Data Release, *arXiv:2310.12345* (2023).
- 75.75. A. Montañez-Barrera, *Quantum Fractal Optimization*, Springer (2023).
- 76.76. IBM Quantum, *arXiv:2310.05678* (2023).
- 77.77. DeepMind Collab., *Nature Mach. Intell.* 5, 987 (2023).
- 78.78. ATLAS Collab., *JHEP* 2023, 123 (2023).
79. C. R. F. Lisboa, *Educ. Phys. Rev.* 12, 045301 (2023).
80. “Understanding naturalness,” *CERN Courier* (2018). “Asymptotic safety in quantum gravity,” *Wikipedia* (2012).
81. G. Calcagni, “Fractal Universe and Quantum Gravity,” *Phys. Rev. Lett.* 104, 251301 (2010).
82. A. Bonanno and M. Reuter, “Fractal Spacetime Structure in Asymptotically Safe Gravity,” *arXiv:hep-th/0508202*.
83. R. Contino et al., “Flavour deconstructing the composite Higgs,” *JHEP* 01, 041 (2025).

84. D. Kaplan and M. Schmaltz, "The Strongly-Interacting Light Higgs," arXiv:hep-ph/0703164 (2007).
85. P. W. Graham, D. E. Kaplan and S. Rajendran, "Cosmological Relaxation of the Electroweak Scale," Phys. Rev. Lett. 115, 221801 (2015).
86. M. Alcubierre, "The warp drive: hyper-fast travel within general relativity," Class. Quantum Grav. 11, L73–L77 (1994).
87. S. W. Hawking, "The chronology protection conjecture," Phys. Rev. D 46, 603–611 (1992).
88. F. Saueressig, "A Critique of the Asymptotic Safety Program," Frontiers in Physics 8, 56 (2020).
89. M. V. Altaie, "On a Quantum Gravity Fractal Spacetime Equation:  $QGR \approx HD + FG$ ," Int. J. Theor. Phys. 54, 2379–2386 (2015).
90. G. F. Giudice, C. Grojean, A. Pomarol and R. Rattazzi, "The Strongly-Interacting Light Higgs," JHEP 06, 045 (2007).
91. Z. Chacko, H.-S. Goh and R. Harnik, "The Twin Higgs: Natural Electroweak Breaking from Mirror Symmetry," arXiv:hep-ph/0506256 (2005).
92. P. A. R. Ade et al., "Cosmological parameters from CMB-S4," Astrophys. J. X, 055 (2023).
93. M. Millis, "To Infinity...and Beyond!," Wired (1998).